大気圧直流グロー放電における自己組織化した発光模様の形成における 酸素ガスの役割

The role of oxygen gas in self-organized luminous pattern formation in atmospheric-pressure DC glow discharge

北大工 ○(D2)宮崎 俊明, 佐々木 浩一, 白井 直機

Hokkaido Univ., $^{\circ}\text{T.}$ Miyazaki, K. Sasaki and N. Shirai

E-mail: shun me77@eis.hokudai.ac.jp

【はじめに】

大気圧直流グロー放電の陽極近傍で生じる自己組 織化した発光模様の形成メカニズムは未解明であり、 その理解には模様を伴うプラズマの特性を把握する ことが重要である。我々はこれまで、模様形成には O₂ ガスの存在が重要であることから負イオンの存 在が鍵を握ると考えていた[1]。一方で、大気圧より も中性粒子数密度が低い低圧プラズマでも模様が形 成されたという報告もある[2,3]。そのため、大気圧 プラズマでの模様形成時には温度上昇による粒子数 密度の低下が生じている可能性があることを予想し た。我々が実際に計測した結果、開放空気中での放 電において模様のできる条件ではガス温度が高いこ とが確認され、そのことを前回の応用物理学会にて 報告した。今回は放電周囲に O2 および N2 シースガ スを流した条件においてプラズマ中のガス温度を測 定し、模様形成における O2 ガスの役割について考察 する。

【実験方法】

実験装置概略を図1に示す。電極構造は文献[1]と同様にして、直流グロー放電を発生させた。液体陽極には1%の塩化ナトリウム水溶液を使用した。Heガスおよびシースガス流量はそれぞれ300 sccm および1000 sccm で一定とした。陽極-陰極間の距離(4-10 mm)および電流(20-80 mA)を変化させたそれぞれの条件において、OH ラジカルのレーザー誘起蛍光法(LIF)およびレイリー散乱を用いて気相部におけるガス温度分布を求めるとともに、液体陽極近傍での模様の変化を観察した。レーザー光はプラズマに対して横方向から入射し、LIF信号およびレイリー散乱信号はレーザー方向に対して垂直な方向からICCDカメラを用いて計測した。

【実験結果および考察】

図 2 には He ガス流量,電極間距離,電流値をそれぞれ 300 sccm, 10mm, 60mA として、 $(a)O_2$ シースガス, $(b)N_2$ シースガスを流した条件での OH ラジカル回転温度分布を示している。図 2(c)は (a)および(b)と同じ条件において、レイリー散乱光強度から推定した液体陽極から 2mm 上部でのガス温度分布を示す(放電中心は 10mm の位置)。模様形成は、(a)の条件では生じるが (b)の条件では生じなかった。大気圧下では回転温度と並進温度がおおよそ等しいため、図 2(a)および(b)はガス温度分布を表している。模様が形成される(a)の条件では、放電部の温度が約 3000 K 程度まで高くなる傾向がみられ、これは模様の形成されない(b)の条件よりも高い温度であった。放電部での温度分布の勾配は、(a)での傾きの方が(b)よりも大きかった。そして、これらの傾向はレイリー散

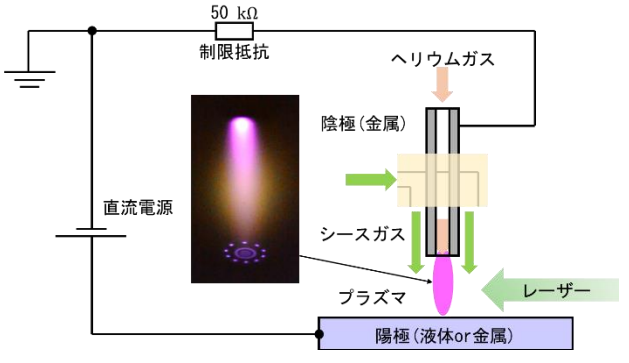


図1:直流グロー放電生成装置および陽極での模様

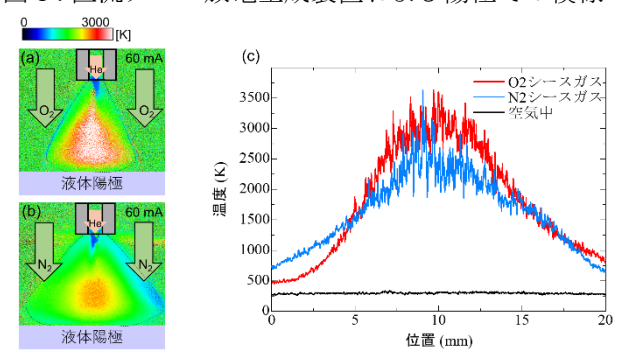


図 2: OH ラジカル回転温度分布: $(a)O_2$ シースガス、 模様あり $(b)N_2$ シースガス、模様なし、および(c)レイリー散乱信号より算出した温度分布

乱を用いて算出した温度(c)の結果とよく一致して いた。大気圧プラズマでは、純 N2 ガスのプラズマよ りも空気プラズマの方が高いガス温度になるという 報告は他にもあり[4,5]、今回の結果と合わせて考え ると、模様形成を伴うプラズマにおける O2 ガスの役 割は、プラズマ中でのガス温度を高くすること、あ るいは温度勾配を変化させることであると考えられ る。そのため、大気圧プラズマにおいて模様形成さ れる条件では、低圧プラズマと同程度(>0.1気圧)に ガス密度が低くなっていることが示唆されており、 これは大気圧プラズマと低圧プラズマにおける模様 形成のメカニズムが基本的には同様であることを示 している可能性がある。講演では、密閉チャンバー 中において放電を生成し、大気圧よりも圧力を低く した条件(0.1~1気圧)での模様形成を観察した結果 も合わせて報告する。

参考文献

- [1] N. Shirai, et al., Plasma Sources Sci. Technol. 23, 054010 (2014).
- [2] K. Schoenbach, et al., Plasma Sources Sci. Technol. 13, 177 (2004)
- [3] S. Nasuno, Chaos 13, 1010-1013 (2003)
- [4] D. Staack, et al., Plasma Sources Sci. Technol. 17, 025013 (2014)
- [5] K. Tomita, et al., Jpn. J. Appl. Phys. 55 066101 (2016)